

鉄物用銑吹製の高炉で重油吹込みを行なつた場合には問題となるのは銑中 Si% の上昇と溶銑温度の低下である。これにより吹込み量は制限を受ける。重油吹込み量を減少すると一時的に銑中 Si% は上昇するが、それ以後は安定していくことが認められる。

酸素吹込量の影響としては、当所では酸素富化期間が短いので明確なことは今の所判らない。

#### (g) 焼結鉱の影響

焼結鉱配合割合は当所第1高炉は 60% 前後である。焼結鉱使用割合がコークス比に良好な結果を与えることは周知の事実であり、焼結鉱配合割合とコークス比の関係を実績から調べると 1.0% の使用増でコークス比 -1.1 kg という結果がえられている。したがつてこの割合でアクションをとり銑中 Si% のバラツキをおさえている。また焼結鉱の品質は銑鉄成分にも大きく影響するので、この管理を十分に行なうことが必要なことはいうまでもない。

#### (h) 銑種切替時の問題

鉄物用銑は銑中 Si% によって銑種が格付けされるとつてよく、吹製銑種により銑中 Si% の目標値が変つてくる。このため高炉操業上のアクションとしては、例え F1-B (Si 1.81~2.20%) から F1~D (Si 2.61~3.50%) への場合には、

目標銑中 Si%	2.00% → 3.00%
CaO/SiO <sub>2</sub>	1.15% → 1.08%

という予定で銑中 Si% 上昇に必要なアクションをとつてある。Fig. 5 に銑種吹替の際の銑中 Si% の上昇の一例を示す。

これをみると予定出銑時には目標銑中 Si% まで上らず、数タップ遅れることが認められる。大体銑中 Si% の動きはこのような傾向を示し、大型高炉になれば、炉内熱含量などが影響してこのような結果が現れるのではないかと考えられる。大巾な銑中 Si% の上昇、下降には一時的に大巾なアクションが必要とも考えられる。

#### (i) その他の影響

高炉操業上、上述した要因以外に銑中 Si% の変動原因となつていると考えられるものを列記すると、

- (1) 計測器械の故障
  - (2) 炉壁付着物の影響
  - (3) 高炉操業者のミスアクション
- などが考えられる。

### III. 結 言

鉄物用銑吹製ときにおいて最も問題となつている銑中

Si% の管理について実績をもとにいろいろの場合について考察を加えたが、今後操業上留意すべきことは炉況の安定化という点につきるのであるが、特に次の点が改善されれば、さらに安定した銑中 Si% の管理を行うことができると思われる。

- (1) 計測技術の向上
- (2) 秤量の精度向上
- (3) 各種分析の迅速、正確化
- (4) 高炉装入物の品質向上

669,162,267,62,658,562,3

### (23) 高炉での脱硫に関する重回帰分析

川崎製鉄、技術研究所 No. 64185

佐々木 健二・安藤 博文

○佐藤 範彦・梶谷 晃男

〃 製鉄部

梅垣 邦一・篠崎 義信

Multiple Correlation Analysis on Desulphurization in Blast Furnace.

Kenji SASAKI, Hirobumi ANDō,  
Norihiko SATō, Nobuo TSUCHIYA,  
Kuniichi UMEGAKI and Yoshinobu SHINOZAKI.

#### I. 緒 言

言 JP1611-1613

従来、高炉における脱硫能に影響を与える諸要因の個々について論じた報文は多く発表されているが、諸要因が交絡しあつた上で脱硫能におよぼす影響を検討したものは少ない。本報告では実操業データを用いて重回帰分析を行ない、諸要因が交絡しあつた上で脱硫能におよぼす影響を検討した結果を述べる。脱硫能に影響を与える諸要因のうち今回は銑鉄成分、スラグ成分、スラグ塩基度、溶銑温度およびスラグ液相温度 (liquidus temp) を選択した。さらにスラグ塩基度の表現式についての検討結果も報告する。

#### II. 調査方法

選択した各特性値および要因は Table 1 に示したとおりであり、その平均値と標準偏差をかかげる。なおデータは千葉製鉄所第3高炉 S38-10-1~S39-3-20までのものであり、データ数は 171 個である。

ここで硫黄原子の活動度係数  $f_S$  を算出する際に用いた相互作用助係数は 1450°C~1500°C の値が求められていないので、1600°C の値<sup>2)</sup>を用い近似値とした。したがつて、 $L_S/f_S$  の値を用いることには問題がある。

#### III. 結果と考察

重回帰分析を行なつた結果、特性値に対する要因効果が危険率 5% で有意であったものは次のとおりである。正の要因効果を与えたものは溶銑成分としての C, Si, 塩基度および溶銑温度であり、負の要因効果を与えたものはスラグ成分としての Al<sub>2</sub>O<sub>3</sub> であった。その他の各要因の有意性は |信頼区間| > 偏回帰係数となつて信頼がうすく、それらの各要因は有意性のないものとして除いた。溶銑成分中 Mn, P が有意でなかつた。C, Si, Mn, P を要因に選んだ理由は硫黄原子の溶銑中での活動度に影響を与える諸原子のうちその影響度の大きいものとい

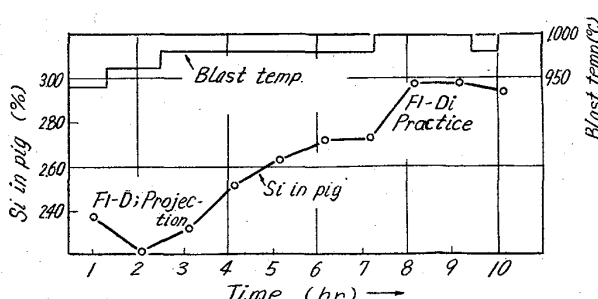


Fig. 5. The change of Si% range in pig Iron.

Table 1. Variables and their mean value and standard deviation.

Variable	Mean value	Standard deviation	Variable	Mean value	Standard deviation
Ls	36.23	8.33	SiO <sub>2</sub>	32.61	0.74
Ls/fs	9.49	2.10	Al <sub>2</sub> O <sub>3</sub>	16.64	0.71
C	4.49	0.10	FeO	0.43	0.13
Si	0.80	0.15	CaO/SiO <sub>2</sub>	1.214	0.044
Mn	0.70	0.06	CaO+MgO/SiO <sub>2</sub> +Al <sub>2</sub> O <sub>3</sub>	0.922	0.034
P	0.16	0.01	Excess base	1.299	0.047
CaO	39.54	0.78	Bell's ratio	0.958	0.0275
MgO	5.86	0.78	Temp. of pig iron	1480.7	8.2

$$\text{Excess base: } \left( \frac{\text{CaO} + \frac{2}{3} \text{MgO}}{3} \right) - (\text{SiO}_2 + \text{Al}_2\text{O}_3)$$

$$\text{Bell's ratio: } \frac{\text{CaO} + 0.7 \text{MgO}}{0.94 \text{ SiO}_2 + 0.18 \text{ Al}_2\text{O}_3}$$

うことからあつたが、C, Si, Mn, P の相互作用助係数を比較すると次の通りである<sup>2)</sup>。

$$\log f_S^{(C)} = e_S^{(C)} [\text{C}\%], \quad e_S^{(C)} = 0.12$$

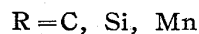
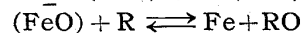
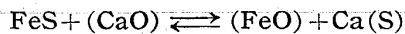
$$\log f_S^{(\text{Si})} = e_S^{(\text{Si})} [\text{Si}\%], \quad e_S^{(\text{Si})} = 0.065$$

$$\log f_S^{(\text{Mn})} = e_S^{(\text{Mn})} [\text{Mn}\%], \quad e_S^{(\text{Mn})} = -0.025$$

$$\log f_S^{(P)} = e_S^{(P)} [\text{P}\%], \quad e_S^{(P)} = 0.045$$

また銑鉄中の4成分の平均含有量は C=4.5%, Si=0.8%, Mn=0.7%, P=0.16%であつて、相互作用助係数と含有量の双方から考察すると、MnおよびPの硫黄原子の活動度におよぼす影響は C, Si に比較して小さいということができ、したがつて、要因効果が認められなかつたものと考えられる。

スラグ成分中に FeO を加えたのは次のような理由からあつたが、有意性は認められなかつた。すなわち、脱硫反応は分子論的な立場から次のように考えられており<sup>2)</sup>。FeO のスラグ中での含有量は脱硫能に大きな影響を与えると考えられる<sup>3)</sup>。



しかし、今回の重回帰分析の結果、有意性が認められなかつたのは、FeO のスラグ中での含有量が 0.4% 前後という小さい値であつたことと、データのバラツキが小さく含有量に大きな変化がなかつたためと考えられる<sup>3)</sup>。さらに FeO のスラグの物理的性質に与える影響も同じく上記の理由から現れなかつたものと考えられる。

要因に Si と溶銑温度が同時に入つている場合には、温度の要因効果に有意性が認められなかつた。これは Si と溶銑温度との間には相関関係があり、Si の特性値に対する要因効果のほうが溶銑温度より大きく現われたためと考えられる。

Al<sub>2</sub>O<sub>3</sub> は特性値に対して負の有意性を示したが、これは Al<sub>2</sub>O<sub>3</sub> がスラグの粘性、液相温度などに与える影響が大きいところから現われた結果と推測され、この Al<sub>2</sub>O<sub>3</sub> がスラグの粘性、液相温度などを悪化させる事実はすでに報告されているところである<sup>4)</sup>。スラグ中におけるアルミナは AlO<sub>3</sub><sup>3-</sup> グループとして SiO<sub>4</sub><sup>4-</sup> グループとともに重合体を形成するユニットとして作用し粘性を増大

させる<sup>5)</sup> ところからスラグ中の硫黄原子の拡散速度を悪化させて、脱硫能に負の効果を与えることは容易に推察されるところである。

しかし Al<sub>2</sub>O<sub>3</sub> の液相温度におよぼす効果がどの程度脱硫能に影響を与えるかを検討することも意味のあることと考え次のような調査を行なつた。すなわち、CaO, MgO, SiO<sub>2</sub>, Al<sub>2</sub>O<sub>3</sub> をスラグの主成分と考え、FeO, MnO, TiO<sub>2</sub> および S はスラグ中でしめる含有量は数パーセントであり、スラグの性質に与える影響は二義的なものとみなして<sup>6)</sup>、代表4成分系、すなわち、CaO-MgO-SiO<sub>2</sub>-Al<sub>2</sub>O<sub>3</sub> 系の等液相曲線<sup>6)</sup>を用いて各スラグ成分について液相温度を求めたところ、Al<sub>2</sub>O<sub>3</sub> が増大するほど、液相温度が上昇することがわかつた。このスラグの液相温度は高炉操業に影響をおよぼすといわれている<sup>6)</sup>。したがつて液相温度が操業状況に影響を与えるという点で間接的に脱硫能に影響をおよぼののではないかと考え、液相温度を要因に加えて重回帰分析を行なつた結果、脱硫能に対して負の要因効果を与えることが明らかとなつた。以上のことから脱硫能を向上させる一手段としてスラグの粘性および液相温度を低下させるということが考えられる。このためにはスラグの性質に悪影響を与える Al<sub>2</sub>O<sub>3</sub> の含有量をできるだけ低下させる必要があるが、この方法として Al<sub>2</sub>O<sub>3</sub> 含有量の低い鉱石を使用するか、CaO, MgO の含有量を変化させるかの二つの方法が考えられる。しかし鉱石事情によつて前者の方法は困難な場合が多いと考えられ、したがつて、後者の方法をとらざるを得ない。後者の方法をとる場合に考慮すべき点は粘性および液相温度を低下させ、かつ硫黄保有能力を低下させないスラグ組成を選択するという点である。等液相温度曲線<sup>6)</sup>から判断すると、Al<sub>2</sub>O<sub>3</sub> および SiO<sub>2</sub> の含有量一定の場合、液相温度を低下させるためには CaO 含有量を低下させ、MgO 含有量を増大せねばならない。しかし一般に CaO と MgO の脱硫能力を比較すると、自由エネルギーの点から考えても CaO のほうがよいとされている。さらに液相温度の低下は必ずしも粘性の低下を伴うものではない<sup>6)</sup>。したがつて、液相温度および粘度も低く、かつ CaO を大きく変化させずにすむスラグ組成を等液相温度曲線<sup>6)</sup>から考察すると、塩基度 (CaO+MgO)/(SiO<sub>2</sub>+Al<sub>2</sub>O<sub>3</sub>) の値を上昇させつつ、MgO 含有量増大による液相温度の低下

Table 2. Regression equations.

$L_s = -581 \cdot 04 + 0 \cdot 374 [\text{temp.}] + 52 \cdot 00 [\text{CaO}/\text{SiO}_2]$ ,	$\sigma = 7 \cdot 40$
$L_s = -637 \cdot 45 + 0 \cdot 393 [\text{temp.}] + 98 \cdot 77 [\text{CaO} + \text{MgO}]/(\text{SiO}_2 + \text{Al}_2\text{O}_3)$ ,	$\sigma = 6 \cdot 95$
$L_s = -536 \cdot 57 + 0 \cdot 379 [\text{temp.}] + 121 \cdot 91 [\text{Excess base}]$ ,	$\sigma = 6 \cdot 98$
$L_s = -593 \cdot 10 + 0 \cdot 368 [\text{temp.}] + 65 \cdot 00 [\text{Bell's ratio}]$ ,	$\sigma = 7 \cdot 13$
$L_s/f_s = -115 \cdot 18 + 0 \cdot 074 [\text{temp.}] + 12 \cdot 59 [\text{CaO}/\text{SiO}_2]$ ,	$\sigma = 1 \cdot 93$
$L_s/f_s = -128 \cdot 89 + 0 \cdot 079 [\text{temp.}] + 23 \cdot 99 [(\text{CaO} + \text{MgO})/(\text{SiO}_2 + \text{Al}_2\text{O}_3)]$ ,	$\sigma = 1 \cdot 82$
$L_s/f_s = -118 \cdot 16 + 0 \cdot 072 [\text{temp.}] + 15 \cdot 90 [\text{Bell's ratio}]$ ,	$\sigma = 1 \cdot 86$
$L_s/f_s = -104 \cdot 35 + 0 \cdot 075 [\text{temp.}] + 29 \cdot 74 [\text{Excess base}]$ ,	$\sigma = 1 \cdot 83$
$L_s = -209 \cdot 65 + 0 \cdot 405 [\text{temp.}] + 64 \cdot 37 [\text{CaO}/\text{SiO}_2] - 0 \cdot 294 [\text{Liquidus temp.}]$ ,	$\sigma = 7 \cdot 40$
$L_s = -497 \cdot 69 + 0 \cdot 405 [\text{temp.}] + 101 \cdot 87 [(\text{CaO} + \text{MgO})/(\text{SiO}_2 + \text{Al}_2\text{O}_3)]$ - 0.108 [Liquidus temp.],	$\sigma = 7 \cdot 13$
$L_s = -272 \cdot 11 + 0 \cdot 391 [\text{temp.}] + 73 \cdot 93 [\text{Bell's ratio}] - 0 \cdot 250 [\text{Liquidus temp.}]$ ,	$\sigma = 7 \cdot 20$
$L_s = -314 \cdot 92 + 0 \cdot 400 [\text{temp.}] + 129 \cdot 22 [\text{Excess base}] - 0 \cdot 173 [\text{Liquidus temp.}]$ ,	
$\sigma = 7 \cdot 10$	

をはかり脱硫能を向上させる必要がある。この塩基度を上昇させる方法は  $\text{Al}_2\text{O}_3$  および  $\text{SiO}_2$  のスラグ中含量低下も同時に行なうことができ粘性を良好にする点でもある程度の効果を期待できる。しかし、塩基度、 $\text{CaO}$  および  $\text{MgO}$  の変動の限度に十分な注意を払わねばならないことはいうまでもない。

重回帰分析の結果、回帰式全体として成立し、なおかづ個々の要因の偏回帰係数も有意であつた回帰式を選択すると Table 2 のようになる。

これらの式のうち、特性値が  $L_s/f_s$  である式は、活動度係数  $f_s$  の算出に際して問題があるので、 $L_s$  を特性値として用いた式のほうがより妥当であると考えられる。また、標準偏差の値から考察すると塩基度の表式方法としては  $\text{Al}_2\text{O}_3$  と  $\text{MgO}$  を含んだ式を用いたほうがよいということになる。これは  $\text{Al}_2\text{O}_3$  および  $\text{MgO}$  が塩基度に影響をおよぼしていることから説明される。

最後に得られた回帰式を用いて、銑鉄中の硫黄含有量を推定する式について考察する。装入硫黄量を  $S(t/t-\text{pig})$ 、ガスとして逃げる硫黄量を  $S'(t/t-\text{pig})$  とすると

$$S = \frac{[S]}{100} + \frac{V(S)}{100} + S' \quad \dots \dots \dots \quad (a)$$

ここに  $V$  は銑鉄トンあたりのスラグ量であり、 $S'$  は小さいので省略すると、

$$[S] = \frac{100S}{(S)/[S]V + 1} = \frac{100S}{L_S \cdot V + 1} \quad \dots \dots \dots \quad (b)$$

を得る。試みに装入硫黄量  $4 \cdot 07 \text{ kg/t-pig}$ 、スラグ比  $0 \cdot 27$ 、 $\text{CaO}/\text{SiO}_2 = 1 \cdot 2$  とすると  $[S] = 0 \cdot 039\%$  となる。

#### IV. 結 言

千葉製鉄所第 3 高炉の最近 6 カ月の操業結果から硫黄の分配に関する検討を行なった結果、

(1)  $S$  の分配比  $L_s$  および  $L_s/f_s$  に対する各要因の効果は従来の報文と一致し、Table 2 の回帰式を得た。

(2) 鉱滓中の  $\text{Al}_2\text{O}_3$  の含有量は  $S$  分配比に対して負の要因効果が強かつた。

(3)  $\text{FeO}$  の脱硫能に与える影響は大きくなかった。

(4)  $\text{Al}_2\text{O}_3$  のスラグの性質に与える影響は大きく、液相温度が負の要因効果を示したのもこれが多分に影響しているものと推察され、したがつて脱硫能を左右する

条件の一つと考えられる。

(5) (b)式を用いることによつて、銑鉄中硫黄含有量を推定できるほかないいろいろの点で操業指針とすることができる。

#### 文 献

- 1) V. GIDROYC et al.: J. Iron & Steel Inst., Jan. (1964), p. 11
- 2) 川合保治他: 日曾製鋼技報, 2 (1962), p. 64
- 3) B. F. GONCHAROV: Stal, Mar. (1960), p. 168
- 4) 児玉他: 鉄と鋼, 49 (1963) 13, p. 1869
- 5) E. F. OSBORN et al.: Proc. Blast Furn., (1953), p. 281
- 6) R. B. SNOW: Proc. Blast Furn., (1962), p. 125  
*546,623-3/*

*669,162,267,62 : 669,046,584*

#### (24) 脱硫におよぼす鉱滓中 $\text{Al}_2\text{O}_3$ の影響について No. 64/186

住友金属工業、小倉製鉄所  
綿井義雄・神田良雄・福島 貢・○野見山寛  
Effect of  $\text{Al}_2\text{O}_3$  Content in Blast-furnace Slag on the Desulphurization.

Yoshio WATAI, Yoshio KANDA,  
Mitsugu FUKUSHIMA and Hiroshi NOMIYAMA.

#### I. 緒 言 pp/1613~1615

塩基性操業時の高炉鉱滓中  $\text{Al}_2\text{O}_3$  含有量については、一般に 15% 程度が最適とされ、これ以上増加すると鉱滓流动性および銑鉄成分に悪影響をおよぼすといわれている。小倉高炉の鉱滓中  $\text{Al}_2\text{O}_3$  含有量は 16~20% と、かなり高い範囲にあり、またその変動も大きい。これが炉内脱硫に悪影響をおよぼしていると考えられるため、No. 1 B. F. の実績を基にその影響を調査したのでその概要を報告する。

#### II. 小倉高炉鉱滓中の $\text{Al}_2\text{O}_3$

小倉高炉の鉱滓中  $\text{Al}_2\text{O}_3\%$  は Fig. 1 に示すごとく、 $\text{Al}_2\text{O}_3$  装入量は減少しているにも拘らず鉱滓量の大巾な減少によつて  $\text{Al}_2\text{O}_3\%$  は上昇の傾向を示している。また